

(81) 絶手直路T字部の地震応答シミュレーション

神戸大学 正員 高田至郎 大阪ガス 楠本敏弘 大阪ガス 堀原治郎

1. まえがき

日本におけるガス導管は、本管（口径 100mm 以上）については、溶接接合による鋼管と、絶手部による機械的接合された鋼管管（以下「GM」）とされる。これらは耐震性については、従来から多くの研究成果が発表されており、著者らも著者と地盤のすべり運動を考慮した埋設管直管部の耐震解析について既に報告している^{1), 2)}。一方、最近では、T 字部や曲管部など異形部の耐震性評価についても着目されており³⁾。これらの間からの研究では、日本では、スリットを考慮した耐震設計法（「ガス導管耐震設計指針」）も、1982年に發表されている。しかしながら、鋼管直路T字部については、絶手の直路T字部の機械的特性の複雑さ、及ぶ、異形部の解析手法の困難さなどから、その耐震性については、十分な解明がなされていないのが現状。

本報では、対象鋼管として、引抜片及び圧縮余裕があり、かつ、離脱防止機能を有するガスメカニカル（GM, GM II）絶手直路T字部、また、異形部として地震時の影響が最も大きいT字部を選んだ。これらの地盤入力、地盤特性は、上記「ガス導管耐震設計指針」（以下「指針」）の考証を用いて、鋼管直路T字部の地震応答シミュレーションを行ない、その結果について検討した。なお、本シミュレーションにおいては、著者らの開発した ERAUL (Earthquake Response Analysis of Underground Lifelines) プログラムを用いた。

2. 解析モデルとその手法

(1) 管の種別と特性

ガス供給用導管として、最も多く使われる 3 口径 150mm の鋼管を対象とする。また、解析結果を比較するため、同口径の鋼管に対する GM の対象とした。Table 1 に諸元を示す。Fig. 1 には、GM、GM II 絶手の概略図を示す。GM 絶手は、引抜片余裕を考慮して製作された一種の耐震絶手で、離脱防止機能を備えている。口径 150mm、ロットリーリング、ゴム輪が充てん材として使用され、ホルトナットによる締め付けられた構造である。GM II 絶手は、GM 絶手の圧縮側変位吸収能力を改良したものであり、引抜片及び曲げ特性は同一である。両絶手の機械的特性を Fig. 2 に示す。また、引抜片、圧縮特性の諸元を Table 1 に示す。

GM joint connection

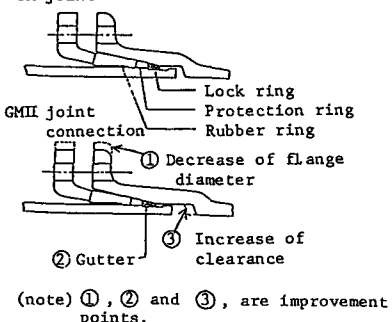


Fig. 1. Sketch of cross-sections of GM and GMII joints.

Table 1. Dimensions of pipes.

	Steel (SGP)	Ductile-iron (FCD)
Diameter (cm)	16.52	16.9
Thickness (cm)	0.5	0.85
Young's modulus E (kgf/mm ²)	2.1×10^4	1.7×10^4
Tensile Strength σ_b (kgf/mm ²)	30	42
Yield Strength σ_y (kgf/mm ²)	18	26
Elongation e (%)	30	10

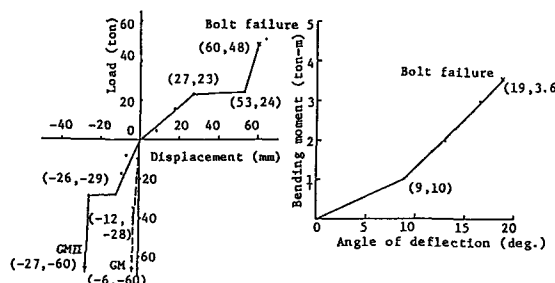


Fig. 2. Mechanical behaviors of GM and GMII joint (150mm).

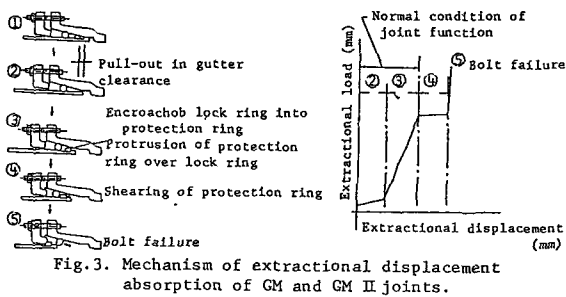


Fig. 3. Mechanism of extractional displacement absorption of GM and GM II joints.

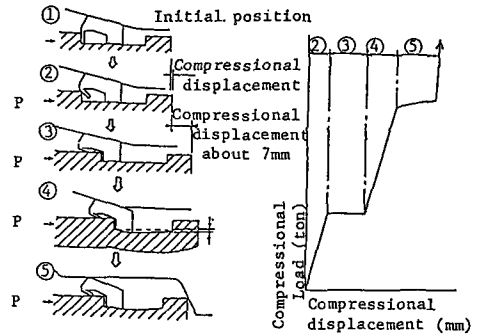


Fig. 4. Mechanism of compressional displacement absorption of GMII joint.

(2) 地盤の特性

解析に用いた地盤は、Fig. 5 に示すように管軸直角方向は完全弾塑性（ばね係数 k_1 ）、限界せん断応力 T_{cr} ）、管軸直角方向は弾性（ばね係数 k_2 ）で、 $k_1 = 0.6 \text{ ksf/cm}^2$, $k_2 = \pi \cdot k_1 = 1.9 \text{ ksf/cm}^2$ また、 T_{cr} は、钢管 $\approx 0.1 \text{ ksf/cm}^2$ 、錆鉄管では純手張り部への拘束力の増大を考慮して 0.3 ksf/cm^2 とした。

(3) 地震入力

地震波は、埋設管の管軸方向に入射し、その進行方向を複数成分として、(1) 波の位相速度 (V_h)、振幅 (U_h) の正弦波と考へて、(2) 地震波につれては、「前進」地震波と用いた。 V_h , U_h の式は Fig. 6 に示す。

$$L = V \cdot T$$

$$U_h = \frac{2}{\pi^2} \cdot T \cdot S_V \cdot K_{oh} \cdot \cos \frac{\pi z}{2H}$$

$T \leq V$, $T \leq S_V$ の場合 Fig. 6, 7 に、また、 $T > U_h$ の場合 Fig. 8 に示す。

すなはち、直管部のすべりによる管と地盤の相対変位が T 実部に集中するところから、相対変位 Δ が最大時に T 字部の管ひずみが最大となる。これをから。本解析では、地中中の管路系に対する T 字部の地盤の固有周期 T を代表として採用した (Fig. 9)。

(4) 解析モデル

解析に用いた ER A U L モデルは、位連式 $\ddot{x} + \gamma \dot{x} + \delta x = f(t)$ の形で、地盤の非線形地盤応答を解析し得るもので、擬似静的解析法を基礎としている⁴⁾。地盤等価一質量振動系モデルを Fig. 10 に示す。解析モデルは、T 字管を含む管路系の枝管 (Fig. 12a Element (1)) 例から、管軸方向運動変位をもと、同一方向に進行する波部が入射する場合を考へ、地震波の位相差の影響を考慮した結果、Fig. 11 が 4 つに分けて解析を行った。

(5) 解析手法

T 字部の解析手法を Case 1, 2 について述べる。Fig. 12a に示す、地震波は T 字部は (1) のように菱形である。すなはち、主管 (Element (2)) は分歧部より離れたところでは、地盤と同一の動きをするが、分歧部では、枝管の拘束により地盤部との速度差がある。この差は (2), (3) に示すように二つの梁の差動を分解できる。つまり、

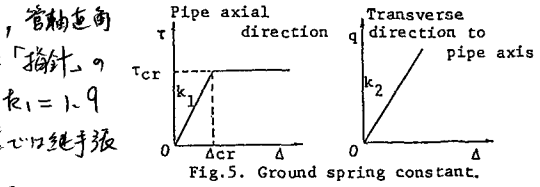


Fig. 6. Apparent propagation velocity of seismic motion.

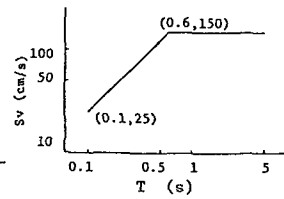


Fig. 7. Velocity response spectrum per unit seismic intensity at base rock.

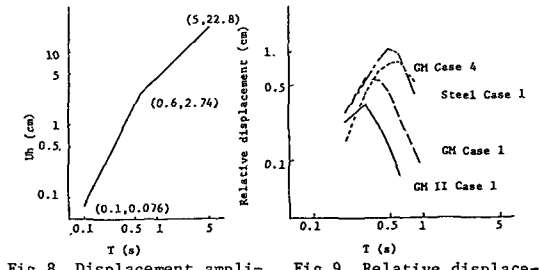


Fig. 8. Displacement amplitude of the surface layer.

Fig. 9. Relative displacement.

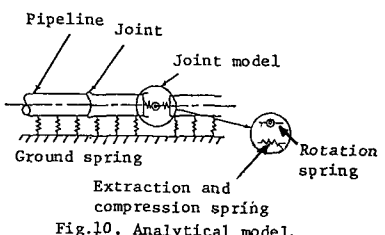


Fig. 10. Analytical model.

枝管拘束化と主管の曲げ変形 Δ' と、枝管自身の変形 Δs と
の相応地盤変位 U_h に対応する。一方で、枝管の端部には $2P$
の軸力が、主管の端部では P の軸力が作用して Δs 。

すなはち、 $\Delta' + \Delta s = U_h + 3P$ すなはち $\Delta = U_h + 3P$ が成り立つ。T字
部全体が伸び、たわむる、軸力、曲げモーメントが生まれる。

3. T字部の地盤応答解析

(1) 継手を有する鋼管管路の地盤応答解析

鋼管管T字部の解析結果を表2に、管路軸方向の変位 U_h と
Fig.13～16に示す。これらの結果より以下のようにまとめられる。

i) T字部を含むGM、GMII鋼管管路では、直管部で生じ
る管と地盤の相対変位は継手へ大部吸収されてしまうため
すべりが発生せず、T字部への影響は非常に小さい。すな
はち、T字部のすべりは直管部より小さく、ひずみの最大
値はT字部から離れた直管部で生じる(地盤ひずみの最大
値の半分程度)。しかし、入力荷重の耐力 G_y (Table
1)より、十分な安全度をもつて、GM、GMII鋼管管路では、継手の初期の伸び特性による地盤変位に対する
シグナル遮断し、入力される荷重に対する吸収能力は十分な安全度をもつてある。

ii) Case1,4は、T字部附近の管路の圧縮ひずみを受ける場合であり、Case2,3は引張ひずみの場合であるが
圧縮ひずみを受けた場合の方が若干ひずみが大きくなる。しかし、継手の初期伸び特性と圧縮特性を比べて、
荷重に対する変位吸収能力がCase1,4よりCase2,3に大きい(Fig.2)。また、継手の圧縮特性の効果も着目すると、

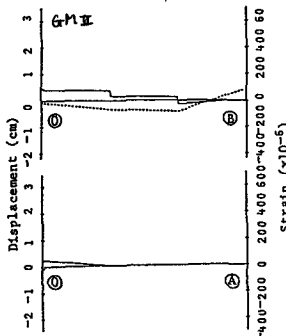


Fig.13. Distribution of strain and displacement
Case 1 Ductile-iron pipeline.

Table 2. Seismic response analytical results
of ductile-iron pipeline

Case No.	Type of joint	Period time T (s)	Displacement U_h (cm)	Wave-length L (cm)	Extension A_s (cm)	Deflection Δ' (cm)	Axial force P (kgf)	Bending moment M (kgf-cm)	T-shaped portion		Straight portion	
									ϵ_1 ($\times 10^{-6}$)	α_1 (kgf/cm^2)	ϵ_2 ($\times 10^{-6}$)	α_2 (kgf/cm^2)
Case 1	GM	0.3	0.68	39	0.21	0.48	2670	-2.86x10 ⁴	-103	-175	-175	-298
	GMII	0.3	0.68	39	0.46	0.23	1260	-1.35x10 ⁴	-48	-82	-85	-145
Case 2	GM, GMII	0.3	0.68	39	-0.58	-0.11	-601	6.43x10 ³	23	39	43	73
	GM, GMII	0.5	1.90	141	0.18	0.18	-1010	-1.08x10 ⁴	-39	-66	-108	-184
Case 4	GM	0.6	2.74	223	-0.69	-0.69	3830	4.11x10 ⁴	148	252	-277	-471
	GMII	0.5	1.90	141	-0.33	-0.33	1820	1.95x10 ⁴	70	119	-83	-141

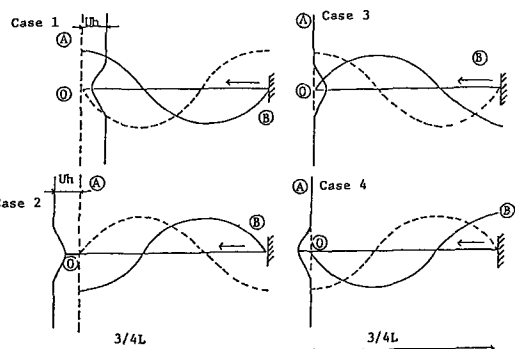


Fig.11. Analytical model
(+ incident direction of seismic wave).

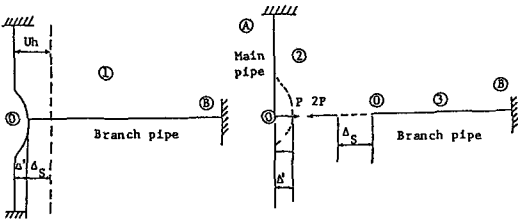


Fig.12. Analytical procedure.

継手の初期の伸び特性による地盤変位に対する
シグナル遮断し、入力される荷重に対する吸収能力は十分な安全度をもつてある。

ii) Case1,4は、T字部附近の管路の圧縮ひずみを受ける場合であり、Case2,3は引張ひずみの場合であるが
圧縮ひずみを受けた場合の方が若干ひずみが大きくなる。しかし、継手の初期伸び特性と圧縮特性を比べて、
荷重に対する変位吸収能力がCase1,4よりCase2,3に大きい(Fig.2)。また、継手の圧縮特性の効果も着目すると、

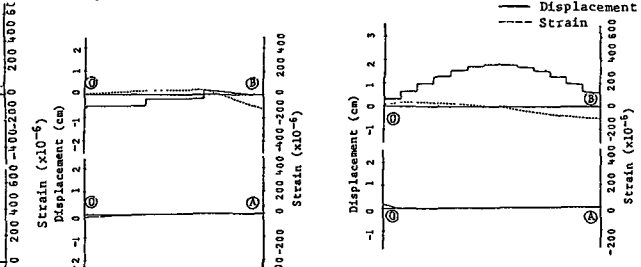


Fig.14. Distribution of
strain and displacement Case 2
Ductile-iron
pipeline.

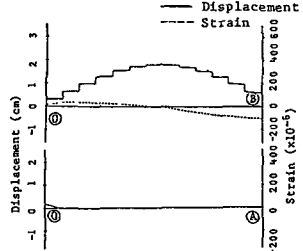
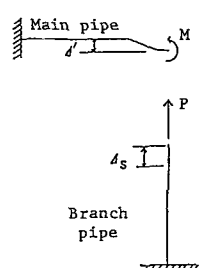


Fig.15. Distribution of
strain and displacement Case 3
Ductile-iron
pipeline.



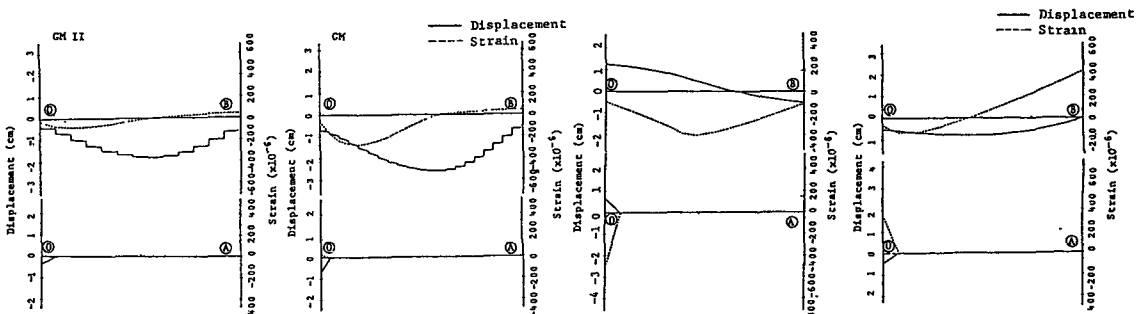


Fig. 16. Distribution of strain and displacement
Case 4 Ductile-iron pipeline.

Fig. 17. Distribution of strain and displacement Case 1 Steel pipeline.

Fig. 18. Distribution of strain and displacement Case 4 Steel pipeline.

Case 1と4においてGMとGM II 結手をくらべた場合。

GM II の管ひずみが管路全長にわたって半減(～1/3)する。一方、GM II 結手の圧縮変形の増大が、管路全体の圧縮変位の軽減に非常に有効であることがわかる。

(2)鋼管路の地震応答解析

钢管路の解析結果をTable 3に、管路軸方向のひずみ、変位分布をFig. 17, 18に示す。钢管路より、管体の剛性が地盤の入力比に比べて

Table 3. Seismic response analytical results

較的大いため、管と地盤の寸法により発生した相対変位がT字部に集中し、
又の相対変位を主因の曲げ

Case No.	Period time T (s)	Displacement U_h (cm)	Wavelength L (m)	Extension Δ_s (cm)	Deflection Δ' (cm)	Axial force P (kgf)	Bending moment M (kgf-cm)	T-shaped portion		Straight portion	
								ε_1 (x10^-6)	M_1 (kgf/cm^2)	ε_2 (x10^-6)	M_2 (kgf/cm^2)
Case 1	0.5	1.90	141	1.25	0.62	4930	-1.50x10^5	729	-1530	-405	-851
Case 4	0.5	1.90	141	-0.45	-0.45	3420	1.04x10^5	506	1060	552	1160

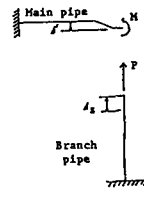


Table 4. Comparision of the Recommended Standards and present paper, in steel pipe 150 mm

	Present paper	The Standards
Axial force P (kgf)	6,280	6,540
Bending moment M (kgf-cm)	1.91×10^4	1.99×10^4
Nominal strain ε (x10^-6)	930	969

(T = 0.5 sec)

変形吸収(～1/3)がかかる。この結果より、最大管ひずみが主因のT字部に生じて(?)。Case 1と4より、T字部の地盤吸収の度合いは場合の方で管ひずみが約大となる(?)。又、曲げの方向と一致(～1/3)。

次に、T字部の計算値と、本解析結果を比較して(?)。
(Case 1に対応)と、Table 4とFig. 17-19と比較して(?)。

Case 1と4と、T字部の曲げひずみが卓越しているが、鋼管路の曲げひずみは非常に小さくなる。

(3)鋼管路と钢管路の解析結果の比較

結手工事例3鉄管路と、高強度3一体構造の钢管路の地震応答解析結果の比較(?)。次回は2つ目を比較する。

i) 管路に発生するT字部、結手(GM, GMII)と拘束された钢管路の方が、钢管路より小さい(例えば、Case 1とGM IIと钢管は、直管部で1/4, T字部で1/5程度)。

ii) 钢管路に発生するひずみは、T字部の曲げひずみが卓越しているが、钢管路の曲げひずみは非常に小さくなる。

以上より、钢管路より、結手の大きさの変形吸収能力(1/5)、管と地盤の相対変位を結手部で拘束的吸収し、この=1/2(?)、T字部への影響の度合いは小2<中3=大4(?)。一方、钢管路より、一体構造管路であり、管剛性も比較的大きい(?)。钢管路と比較して、相対的管剛性の度合は大きい(?)。材料自身の可塑性(?)、又は剛性吸収(?)と一致する。

参考文献

- 1) Shiro Takada, Dynamic Behavior of Underground Pipelines for Seismic Strength of Buried Pipelines, Proceedings of the 4th Japan Earthquake Engineering Symposium, 1978
- 2) Shiro Takada, Sadao Nagao, Efficiency of Joint Parts for Japanese Standard for Design of Buried Pipelines, 1982
- 3) 日本土木学会, 地震時耐震設計指針, 1980
- 4) 高田至郎他, PVC管の地震応答特性について, 日本下水道協会誌, 1980